

بِسْمِ اللَّهِ الرَّحْمَنِ الرَّحِيمِ



دانشکده: علوم زمین

گروه: پترولوزی و زمین‌شناسی اقتصادی

پتروژئنر سنگ‌های آذرین ائوسن فوقانی نوار ماقمایی کاهک - عباس آباد

سمیرا الهیاری

استاد راهنمای:

دکتر حبیب الله قاسمی

اساتید مشاور:

دکتر محمود صادقیان

دکتر عزیز الله طاهری

پایان نامه ارشد جهت اخذ درجه کارشناسی ارشد

خرداد ۱۳۸۹

دانشگاه صنعتی شاهرود

دانشکده: علوم زمین

گروه: پترولوزی و زمین شناسی اقتصادی

پایان نامه کارشناسی ارشد خانم سمیرا الهیاری

تحت عنوان:

پترولوزنر سنگ‌های آذرین ائوسن فوقاری نوار ماغمایی کاهک - عباس آباد

در تاریخ ۱۳۸۹/۳/۲۴ توسط کمیته تخصصی زیر جهت اخذ مدرک کارشناسی ارشد مورد ارزیابی

و با درجه مورد پذیرش قرار گرفت.

امضاء	اساتید مشاور	امضاء	اساتید راهنما
	نام و نام خانوادگی: دکتر محمود صادقیان		نام و نام خانوادگی: دکتر حبیب الله قاسمی
	نام و نام خانوادگی: دکتر عزیز الله طاهری		نام و نام خانوادگی:

امضاء	نماينده تحصيلات تكميلي	امضاء	اساتيد داور
	نام و نام خانوادگی: دکتر فرج الله فردوست		نام و نام خانوادگی: دکتر سید مسعود همام
			نام و نام خانوادگی: دکتر قاسم قربانی

تعدادیم به

پرورادم

که به من آموختند زندگی نزد بانی است که باید از آن بالا رفت

و

همسرم

که پشتیبان همیشگیم است...

پاس گزاری

پاس و اتنا نیکران او که مرآ آفرید و مراتوان آن داد تا در نگاه زمان خویش را جبوگنم و پس از او پاس اولین آمورگارم که قلم درستم نهاد و آنکه چرخش قلم را به من آموختند و استاد انم که مرآ مید آن دادند تا از لرزش قلم نهراستم و بگارم آنچه در توان من است. از آن جمله جناب آقای دکتر حسیب الله قاسمی استاد راهنمایی که این رساله نمود کوشید ای از آسمان و سیح اندیشه اش است و هماره با صبر و دایت خویش با من همراه بوده اند، کمال مشکر را در ارم.

از جناب آقای دکتر محمود صادقیان استاد مشاورم که در طی این دوره تحصیلی بهیشه از راهنمایی های روشنگران خویش مرآ بره مند ساخته اند پاسگزارم. همینکنین کمال مشکر را از استاد مشاور همراهانم جناب آقای دکتر عزیز الله طاهری دارم. از جناب آقای مهندس رضا خانعلی زاده که فراتراز یک استاد مشاور پاچکویی سوالات من بوده اند نهایت مشکر و پاس را در ارم. از خانم مهندس فارسی، آقای مهندس میریاقری، پاسگزارم.

و پاس بی اتهای من تقدیم بکنی که بی شک طی این مسیر بدون همراهی آنان ممکن نبود، کنی که چهره مثان هماره در قاب خاطرم باقیست، دوستان همراهانم، خانم هامیده کشاورز، خوارکو انجی، سعیده زندی، زهره رضایی، سعیده یکمی، زماختی، رزتا حمیدی، سارا ملایی، محبوبه قلاری، خدیجه جمشیدی و....

دانشجو تایید می نماید که مطالب مندرج در این پایان نامه نتیجه تحقیقات خودش می باشد و در صورت استفاده از نتایج دیگران مرجع آن را ذکر نموده است.

کلیه حقوق مادی مرتبت از نتایج مطالعات، آزمایشات و نوآوری ناشی از تحقیق موضوع این پایان نامه متعلق به دانشگاه صنعتی شاهرود می باشد.

خرداد ۱۳۸۹

چکیده

نوار آتشفشنانی آلکالن عباس آباد، در جنوب نوار افیولیتی سبزوار و در لبهٔ شمال شرقی زون ساختاری ایران مرکزی قرار دارد. سنگ‌های آتشفشنانی و آتشفشنانی – رسوبی این منطقه از تناب و گدازه‌های بازیک – حدواتسط و سنگ‌های آذرآواری وابسته به همراه میان لایه‌های رسوبی (شیل توفی، ماسه سنگ توفی، شیل، سیلتستون، ماسه سنگ، کنگلومرا و آهک نومولیتدار) به سن ائوسن میانی – فوقانی تشکیل شده‌اند. مطالعات صحرایی و آزمایشگاهی حاکی از خروج گدازه‌های آلکالن بازالتی – تراکی آندزیتی به درون یک محیط دریایی بسیار کم عمق تا کم عمق دریایی باز در ائوسن میانی – فوقانی است. سنگ‌های آتشفشنانی مورد مطالعه دارای طیف ترکیبی اولیوین بازالت، تراکی بازالت، تراکی آندزی بازالت و تراکی آندزیت هستند که بیانگر یک سری تغییری از اولیوین بازالت تا تراکی آندزیت می‌باشد. بررسی شواهد پتروگرافی این سنگ‌ها، حاکی از تغییر و تحولات پیوسته در آن‌ها شامل ظهرور و حذف برخی کانی‌ها، وجود شواهد بافتی عدم تعادل (نظیر حاشیه‌ی واکنشی، ادخال، بافت غربالی و منطقه‌بندی در فنوکریستهای پلازیوکلاز و کلینوپیروکسن) است. شواهد ژئوشیمیایی موجود در سنگ‌های آتشفشنانی مورد مطالعه مؤید ماهیت آلکالن سدیک، نقش تبلور تغیریقی و به مقدار کمتر آلایش ماقمایی در تکوین و تحول ماقمای آن‌هاست. این سنگ‌ها از عناصر نادر خاکی سبک و عناصر لیتوфیل بزرگ یون غنی شدگی و از عناصر نادر خاکی سنگین تهی شدگی نشان می‌دهند. آنومالی منفی عناصر با شدت میدان بالا مانند Ti، Nb و Ta در سنگ‌های مورد مطالعه از ویژگی‌های شاخص محیط‌های قوسی است. ماقمای سازندهٔ سنگ‌های آتشفشنانی عباس آباد احتمالاً از ذوب بخشی درجه‌ی پایین (۱۶–۱۴ درصد) یک سنگ منشأ گارنت لرزولیتی در اعمق ۸۰ تا ۱۰۰ کیلومتری حاصل شده‌اند. این ماقم، حاصل ذوب بخشی پوسته‌ی اقیانوسی فرورانده شده‌ی نئوتیس به زیر بخش شمالی زون ایران مرکزی و گوهی گوشته‌ای روی آن در یک زون فرورانش قوسی می‌باشد.

کلمات کلیدی: پترولوزی، ژئوشیمی، سنگ‌های آتشفشنانی، ائوسن، عباس آباد، شهرود.

مقاله مستخرج شده از پایان نامه

پترولوزی و ژئوشیمی نوار مآگمایی کاهک - عباس آباد، هفدهمین همایش بلور کانی همدان

مرداد ۱۳۸۸

فهرست مطالب

۵	تدریم.....
۵	پاس کاری.....
ز	چکیده
ح	مقاله مستخرج شده از پایان نامه.....
ط	فهرست مطالب.....
ل	فهرست شکل ها.....
ف	فهرست جداول.....
۱	فصل اول: کلیات.....
۳	۱- راه های ارتباطی منطقه.....
۳	۲- جغرافیای انسانی.....
۳	۳- آب و هوا و پوشش گیاهی.....
۴	۴- ژئومورفولوژی منطقه.....
۶	۵- تاریخچه مطالعات قبلی در منطقه و مناطق اطراف.....
۹	۶- هدف از مطالعه.....
۹	۷- روش های مطالعاتی.....
۱۱	فصل دوم: زمین شناسی عمومی منطقه مورد مطالعه.....
۱۲	۱- مقدمه.....
۱۵	۲- ماقمatisسم ائوسن در ایران مرکزی.....
۱۸	۳- واحدهای سنگی منطقه مورد مطالعه.....
۱۹	۱-۳-۲- شیل و ماسه سنگ زیرین.....
۲۰	۲-۳-۲- نهشته های آذرآواری.....
۲۱	۳-۳-۲- تراکی بازالت با میان لایه اولیوین بازالتی.....
۲۳	۴-۳-۲- آهک نومولیت دار.....
۲۷	۵-۳-۲- تراکی آندزیت ها و تراکی آندزی بازالت ها.....
۲۹	۶-۳-۲- آهک توفی.....
۲۹	۷-۳-۲- کنگلومرای چند زادی.....
۳۰	۸-۳-۲- شیل ها و ماسه سنگ های بالایی.....
۳۱	۹-۳-۲- مارن های گچ دار.....
۳۲	۱۰-۳-۲- پادگانه های آبرفتی کواترنری.....

۳۳	۲-۳- تکتونیک کلی منطقه.....
۳۵	۴-۲- زمین شناسی اقتصادی منطقه.....
۳۸	فصل سوم: مطالعات پتروگرافی.....
۳۹	۳- ۱- مقدمه.....
۳۹	۳- ۲- پتروگرافی سنگ های آتشفسانی.....
۴۰	۳- ۱-۲-۳- اولیوین بازالت ها.....
۵۳	۳- ۲-۲-۳- تراکی بازالت ها.....
۵۷	۳- ۳-۲-۳- تراکی آندزی بازالت ها.....
۶۰	۳- ۴-۲-۳- تراکی آندزیت ها.....
۶۴	۳- ۳- پتروگرافی سنگ های آذرآواری.....
۶۴	۳- ۱-۳-۳- آگلومرا.....
۶۵	۳- ۲-۳- لایلی کریستال توف.....
۶۷	فصل چهارم: ژئوشیمی.....
۶۸	۴- ۱- مقدمه.....
۷۰	۴- ۲- منابع بروز خطا در طی آماده سازی و تجزیه شیمیایی نمونه ها.....
۷۱	۴- ۳- تصحیح داده های حاصل از تجزیه ژئوشیمیایی.....
۷۱	۴- ۱-۳-۴- تصحیح مربوط به حذف مواد فرار (L.O.I).....
۸۰	۴- ۲-۳-۴- تصحیح نسبت $\text{Fe}_2\text{O}_3 / \text{FeO}$
۸۱	۴- ۴- کاربرد نتایج تجزیه شیمیایی عناصر اصلی در طبقه بندی سنگ های مورد مطالعه.....
۸۱	۴- ۱-۴-۴- طبقه بندی کانی شناسی - شیمیایی (نورماتیو) سنگ ها.....
۸۳	۴- ۲-۴-۴- طبقه بندی شیمیایی.....
۸۵	۴- ۳-۴-۴- بررسی تغییر و تحولات ژئوشیمیایی سنگ ها به کمک نمودارهای تغییرات.....
۹۴	۴- ۵- بررسی تحولات ژئوشیمیایی سنگ های مورد مطالعه به کمک نمودارهای تغییرات عناصر کمیاب در مقابل ضریب تغیریق.....
۹۷	۴- ۶- نمودارهای تغییرات عناصر ناسازگار در مقابل یکدیگر.....
۹۹	۴- ۷-۴- نمودارهای عنکبوتی.....
۹۹	۴- ۱-۷-۴- نمودارهای عنکبوتی بهنجار شده نسبت به کندریت.....
۱۰۲	۴- ۲-۷-۴- نمودارهای عنکبوتی بهنجار شده نسبت به گوشته اولیه.....
۱۰۴	۴- ۸- تعیین سری مagmaی.....
۱۰۷	فصل پنجم: پتروژنز.....
۱۰۸	۵- ۱- مقدمه.....
۱۰۸	۵- ۲- تعیین محیط تکتونیکی.....
۱۱۰	۵- ۱-۲-۵- نمودار تمایز تکتونیکی Ti-Zr (پیرس و کان، ۱۹۷۳).....

۲-۲-۵- نمودارهای تمایز تکتونیکی $Y - 2Nb - Ta - Hf/3 - Zr/4$ (وود، ۱۹۸۰) و $Zr/4 - 2Nb - Th$ (مشد، ۱۹۸۶)	۱۱۱
۳-۲-۵- نمودارهای تمایز تکتونیکی Zr/Al_2O_3 در مقابل TiO_2/Al_2O_3 و TiO_2 در مقابل Al_2O_3 مولر و براؤن (۱۹۹۲)	۱۱۳
۴-۲-۵- نمودار تمایز تکتونیکی $MnO - TiO_2 - P_2O_5$ (مولن، ۱۹۸۳)	۱۱۳
۵-۲-۵- نمودار تمایز تکتونیکی $La/10 - Y/15 - Nb/8$ (کابانیس و لکول، ۱۹۸۹)	۱۱۵
۶-۲-۵- نمودار تمایز تکتونیکی Nb/Th در مقابل Nb (بوزتاگ و همکاران، ۲۰۰۷)	۱۱۵
۳-۵- مقایسه ویژگی های ژئوشیمیایی سنگ های آتشفسانی منطقه عباس آباد با سنگ های آتشفسانی منطقه غرب ترکیه	۱۱۶
۴-۵- تعیین محل منشأ سنگ های منطقه مورد مطالعه	۱۱۹
۱-۴-۵- نمودارهای نسبت عنصر کمیاب La/Sm در مقابل Sm/Yb در مقابل La/Sm	۱۲۰
۲-۴-۵- نمودار نسبت Dy/Yb در مقابل La/Yb	۱۲۳
۵-۵- شواهدی مبنی بر تبلور تفریقی و یا ذوب بخشی	۱۲۵
۶-۵- ارزیابی نقش آلایش پوسته ای در تشکیل سنگ های منطقه مورد مطالعه	۱۲۹
۷-۵- الگوی تکتونوماگمایی تشکیل سنگ های آذرین منطقه عباس آباد	۱۳۱
فصل ۶: نتیجه گیری و پیشنهادات	۱۳۶
۶-۱- نتیجه گیری	۱۳۷
۶-۲- پیشنهادات	۱۳۹
منابع فارسی	۱۴۰
Refrence	۱۴۱
Abstract	۱۵۱

فهرست شکل ها

..... ۱-۱- موقعیت جغرافیائی منطقه مورد مطالعه و راه های دسترسی به آن.	۲
..... ۱-۲- موقعیت منطقه عباس آباد بر روی تصویر ماهواره ای ۱:۱۰۰۰۰	۵
..... ۱-۳- موقعیت منطقه کاهک بر روی تصویر ماهواره ای ۱:۱۰۰۰۰	۵
..... ۲-۱- بخشی از نقشه ۱:۱۰۰۰۰ منطقه عباس آباد.	۱۳
..... ۲-۲- بخشی از نقشه ۱:۱۰۰۰۰ منطقه کاهک	۱۴
..... ۲-۳- تقسیم بندی واحدهای ساختاری ایران توسط اشتولکین و نبوی (۱۹۷۳).	۱۶
..... ۲-۴- ستون چینه شناسی واحدهای سنگی منطقه مورد مطالعه	۱۹
..... ۲-۵- نمایی از شیل و ماسه سنگ زیرین به سن ائوسن میانی.	۲۰
..... ۲-۶- دورنمای واحد آگلومرائی در شمال غرب منطقه کاهک	۲۱
..... ۲-۷- تصویری از لاپیلی کریستال توف در منطقه مورد مطالعه	۲۱
..... ۲-۸- وجود فنوکریست های اولیوین و پیروکسن در بازالت	۲۳
..... ۲-۹- تصویری از کانه زائی مس به صورت آزوریت در واحد تراکی بازالتی	۲۳
..... ۲-۱۰- نمایی از میان لایه اولیوین بازالت در بین واحد بازالتی	۲۳
..... ۲-۱۱- نمایی از ساخت حفره ای موجود در بازالت	۲۳
..... ۲-۱۲- فراوانی نومولیت ها در محل تماس گدازه با آهک	۲۴
..... ۲-۱۳- تصویر میکروسکوپی نومولیت به سن ائوسن میانی به همراه قطعاتی از بلورهای پیروکسن	۲۴
..... ۲-۱۴- تصویر مقاطع میکروسکوپی میکروفیسیل های موجود در واحد آهکی	۲۵
..... ۲-۱۵- مورفولوژی خشن منطقه مرتبط با گدازه تراکی آندزیتی نوع آآ	۲۸
..... ۲-۱۶- حضور فنوکریستهای پلاژیوکلاز و پیروکسن و جهت یافته ای آنها در تراکی آندزی بازالتها	۲۸
..... ۲-۱۷- تصویری از رگه کلسیتی ثانویه در واحد تراکی آندزیتی	۲۸
..... ۲-۱۸- حضور و پراکندگی زئولیت درون حفرات موجود در تراکی آندزی بازالت	۲۸
..... ۲-۱۹- دورنمایی از فرسایش پوست پیازی درون واحد تراکی آندزی بازالت	۲۸
..... ۲-۲۰- حضور آنکلاو درون واحد تراکی آندزی بازالتی با ترکیب مشابه سنگ میزان	۲۸
..... ۲-۲۱- حضور روزندران فراوان در واحد آهک توفی	۲۹
..... ۲-۲۲- نمایی از کنگلومرای چندزادی	۳۰
..... ۲-۲۳- نمایی از کنگلومرای چندزادی با گردشگی متوسط و جورشگی ضعیف با سیمان آهکی	۳۰
..... ۲-۲۴- نمایی از تناوب شیل و ماسه سنگ ائوسن - الیگوسن	۳۱
..... ۲-۲۵- نمایی از ریپل مارکهای نامتقارن موجود در واحد ماسه سنگی	۳۱
..... ۲-۲۶- نمایی از دایک آندزیتی تزریق شده درون واحد ماسه سنگی ائوسن	۳۱
..... ۲-۲۷- واحد گچی ائوسن - الیگوسن واقع در شمال شرق عباس آباد	۳۲
..... ۲-۲۸- نمایی از پادگانه های آبرفتی کواترنر در شرق عباس آباد	۳۲
..... ۲-۲۹- نمایی از گسل های مرتبط با کانه زایی در معدن مس عباس آباد	۳۳

شکل ۲-۳۰-۲- نمایی از گسلها و چین های منطقه عباس آباد برگرفته از نقشه ۱:۱۰۰۰۰	۳۴
شکل ۲-۳۱-۲- نمایی از گسلها و چین های منطقه کاهک برگرفته از نقشه ۱:۱۰۰۰۰	۳۵
شکل ۲-۳۲-۲- تصویری از کانه زائی مس در واحد تراکی آندزی بازالت.	۳۶
شکل ۲-۳۳-۲- تصویر میکروسکوپی از کانه زائی مس به صورت مالاکیت (نور انعکاسی).	۳۶
شکل ۲-۳۴-۲- تصویری از زئولیت با بافت شعاعی درون حفره های تراکی آندزیت.	۳۷
شکل ۲-۳۵-۲- نتایج حاصل از آنالیز XRD بر روی نمونه های زئولیتی منطقه مورد مطالعه.	۳۷
شکل ۳-۱-۳- مدل ژنتیکی برای تشکیل بافت گلومروروپورفیری (برگرفته از زو و همکاران، ۲۰۰۹).	۴۳
شکل ۳-۲-۳- تصویری از بافت پورفیری با زمینه میکرولیتی در اولیوین بازالت (XPL).	۴۵
شکل ۳-۳- تصویری از تجمع فنوکریستهای پیروکسن و ایجاد بافت گلومروروپورفیری در اولیوین بازالت.	۴۵
شکل ۳-۴- تصویری از بافت غربالی در فنوکریست کلینوپیروکسن (XPL).	۴۵
شکل ۳-۵- تصویری از تغییرات ترکیب اولیوین به ایدنگریت در بازالت‌های بلبکس در ماسیو سانترال فرانسه.	۵۲
شکل ۳-۶- تصویری از فنوکریست پیروکسن در اولیوین بازالت.	۵۲
شکل ۳-۷- تصویری از حضور فنوکریست پیروکسن و اولیوین با بافت غیر تعادلی در بازالت.	۵۲
شکل ۳-۸- تصویری از فنوکریست کلینوپیروکسن با ماکل ساعت شنی در اولیوین بازالتها.	۵۲
شکل ۳-۹-۳- تصویری از حضور فنوکریستهای اولیوین با بافت غیر تعادلی در اولیوین بازالت (XPL).	۵۲
شکل ۳-۱۰-۳- تصویری از بلورهای اسکلتی اولیوین در اولیوین بازالت (XPL).	۵۳
شکل ۳-۱۱-۳- تصویری از هماتیت در اولیوین بازالت (نور انعکاسی).	۵۳
شکل ۳-۱۲-۳- تصویری از مگنتیت با ظاهری اسکلتی در اولیوین بازالت (نور انعکاسی).	۵۳
شکل ۳-۱۳-۳- تصویری از حضور کانی اپک با بافت غربالی در اولیوین بازالت (XPL).	۵۳
شکل ۳-۱۴-۳- تصویری از حضور ادخال کانیهای اپک، آپاتیت و کلسیت در کلینوپیروکسن (XPL).	۵۳
شکل ۳-۱۵-۳- تصویری از ایدنگریتی شدن کانی اولیوین در اولیوین بازالت.	۵۳
شکل ۳-۱۶-۳- تجمع فنوکریستهای پلاژیوکلاز و ایجاد بافت گلومروروپورفیری در تراکی بازالت.	۵۶
شکل ۳-۱۷-۳- تجمع گلومرولی کلینوپیروکسن در تراکی بازالت با پیروکسن غالب.	۵۶
شکل ۳-۱۸-۳- بافت پورفیری در تراکی بازالتها.	۵۷
شکل ۳-۱۹-۳- بافت اینترگرانولار در تراکی بازالت (XPL).	۵۷
شکل ۳-۲۰-۳- تصویری از فنوکریست های پلاژیوکلاز با ابعاد بسیار بزرگ در تراکی بازالت (XPL).	۵۷
شکل ۳-۲۱-۳- تصویری از حضور اولیوین و کلینوپیروکسن در تراکی بازالت (PPL).	۵۷
شکل ۳-۲۲-۳- تصویری از بافت پورفیری در تراکی آندزی بازالت (XPL).	۶۰
شکل ۳-۲۳-۳- حضور آنکلاو هم منشاً درون تراکی آندزی بازالت (XPL).	۶۰
شکل ۳-۲۴-۳- حضور پلاژیوکلاز با حاشیه خورده شده در تراکی آندزی بازالت (XPL).	۶۰
شکل ۳-۲۵-۳- وجود زینولیت گوشته ای در تراکی آندزی بازالت (XPL).	۶۰
شکل ۳-۲۶-۳- حضور فنوکریست آنالسیم در تراکی آندزی بازالت (الف-نور پلاریزه و ب- نور عادی).	۶۰
شکل ۳-۲۷-۳- بافت تراکیتی در تراکی آندزیت (XPL).	۶۳
شکل ۳-۲۸-۳- حضور پلاژیوکلاز با حاشیه های انحلال یافته و پیروکسن در زمینه میکرولیتی با بافت مگاپورفیریتیک تا پورفیریتیک در تراکی آندزیت.	۶۳

..... شکل ۳-۲۹-۳- تصویری از فنوکریست پلازیوکلاز در تراکی آندزیت	۶۳
..... شکل ۳-۳۰- وجود بافت غربالی در پلازیوکلاز در تراکی آندزیت	۶۴
..... شکل ۳-۳۱- تجمع پلازیوکلاز و ایجاد بافت گلومروپورفیری در تراکی آندزیت	۶۴
..... شکل ۳-۳۲- تجمع فنوکریستهای پیروکسن و ایجاد بافت گلومروپورفیری در تراکی آندزیت (XPL)	۶۴
..... شکل ۳-۳۳- حضور کلسیت، کلریت، کانیهای اپک و زئولیت در قالب پیروکسن تراکی آندزیت (XPL)	۶۴
..... شکل ۳-۳۴- تصویر میکروسکوپی از آگلومرا (XPL)	۶۵
..... شکل ۳-۳۵- تصویری از حضور فنوکریست پلازیوکلاز و پیروکسن در آگلومرا (XPL)	۶۵
..... شکل ۳-۳۶- تصویری از کانی پلازیوکلاز در لایپلی کریستال توف (PPL)	۶۶
..... شکل ۳-۳۷- تصویری از فنوکریست پیروکسن در لایپلی کریستال توف (XPL)	۶۶
..... شکل ۴-۱- موقعیت نمونه های مورد مطالعه بر روی نمودار $\text{Na}_2\text{O} + \text{K}_2\text{O}$ در مقابل SiO_2 (لومتر، ۱۹۷۶)	۸۱
..... شکل ۴-۲- طبقه بندی سنگ های مورد مطالعه با استفاده از ترکیبات نرماتیو و پارامترهای Q' و ANOR (اشتریکایزن و لومتر، ۱۹۷۹)	۸۳
..... شکل ۴-۳- طبقه بندی سنگ های مورد مطالعه با استفاده از ترکیبات نرماتیو و پارامترهای N.C.I و N.P.C (ایروین و باراگار، ۱۹۷۱)	۸۳
..... شکل ۴-۴- موقعیت نمونه های مورد مطالعه بر روی نمودار $\text{Na}_2\text{O} + \text{K}_2\text{O}$ در مقابل SiO_2 (لوباس و همکاران، ۱۹۸۶) به منظور نامگذاری آنها	۸۵
..... شکل ۴-۵- موقعیت نمونه های مورد مطالعه بر روی نمودار $\text{Na}_2\text{O} + \text{K}_2\text{O}$ در مقابل SiO_2 (میدلموست، ۱۹۹۴) به منظور نامگذاری آنها	۸۵
..... شکل ۴-۶- موقعیت نمونه های مورد مطالعه بر روی نمودار TiO_2 / Nb (وینچستر و فلويد، ۱۹۷۷) به منظور نامگذاری آنها	۸۵
..... شکل ۴-۷- موقعیت نمونه های مورد مطالعه در نمودارهای تغییرات درصد اکسید - درصد MgO (فنر، ۱۹۴۸)	۹۰
..... شکل ۴-۸- موقعیت نمونه های مورد مطالعه در نمودارهای تغییرات درصد اکسید در برابر ضریب تفریق (تورنتون و تاتل، ۱۹۶۰)	۹۳
..... شکل ۴-۹- نمودارهای تغییرات عناصر کمیاب D.I. برای نمونه های مورد مطالعه	۹۶
..... شکل ۴-۱۰- نمودارهای تغییرات عناصر ناسازگار در مقابل یکدیگر (الف تا ه)	۹۸
..... شکل ۴-۱۱- نمودار عنکبوتی بهنجار شده عناصر نادر خاکی نمونه های مورد مطالعه نسبت به متئوریت کندریتی (ناکامورا، ۱۹۷۴)	۱۰۳
..... شکل ۴-۱۲- نمودار عنکبوتی چند عنصری بهنجار شده نمونه های مورد مطالعه نسبت به کندریت (تامپسون، ۱۹۸۲)	۱۰۳
..... شکل ۴-۱۳- نمودار عنکبوتی چند عنصری بهنجار شده نمونه های مورد مطالعه نسبت به گوشته اولیه (سان و مک دونوف، ۱۹۸۹)	۱۰۳

شكل ۴-۱۴- موقعیت نمونه های مورد مطالعه بر روی نمودار تعیین سری ماگمایی. الف- نمودار Na ₂ O+K ₂ O در مقابل SiO ₂ (ایروین و باراگار، ۱۹۷۱)، ب- نمودار Na ₂ O+K ₂ O در مقابل SiO ₂ (میدلموست، ۱۹۹۴)، ج- نمودار Na ₂ O+K ₂ O در مقابل SiO ₂ (پکسریلو و همکاران، ۱۹۷۹).....	۱۰۵
شكل ۴-۱۵- نمودار P2O5 در مقابل Zr (وینچستر و فلويد، ۱۹۷۶)، به منظور تعیین سری ماگمایی نمونه های مورد مطالعه.....	۱۰۶
شكل ۴-۱۶- موقعیت نمونه های مورد مطالعه در نمودار تعیین سری ماگمایی سدیک و پتاسیک (اماومی، ۱۹۸۱).....	۱۰۶
شكل ۵-۱- نمودار تمایز تکتونیکی Ti-Zr (پیرس و کان، ۱۹۷۳) و موقعیت سنگهای مورد مطالعه در محدوده قوس قاره.....	۱۱۱
شكل ۵-۲- موقعیت نمونه های مورد مطالعه بر روی نمودار تمایز تکتونیکی Y-Zr/4-2*Nb (مشد، ۱۹۸۶).....	۱۱۲
۵-۳- موقعیت نمونه های مورد مطالعه بر روی نمودار تمایز تکتونیکی Th-Hf/3-Ta (وود، ۱۹۸۰).....	۱۱۲
شكل ۵-۴- نمودارهای تمایز تکتونیکی Zr/Al ₂ O ₃ در مقابل TiO ₂ /Al ₂ O ₃ و TiO ₂ در مقابل Al ₂ O ₃ (مولر و براؤن، ۱۹۷۶) و موقعیت نمونه های مورد مطالعه بر روی آنها.....	۱۱۳
شكل ۵-۵- موقعیت نمونه های مورد مطالعه بر روی نمودار تمایز MnO-TiO ₂ -P ₂ O ₅ (مولن، ۱۹۸۳).....	۱۱۴
شكل ۵-۶- نمودار تمایز تکتونیکی La/10-Y/15-Nb/8 (کابانیس و لکول، ۱۹۸۹ در گالولیان، ۲۰۰۷) و موقعیت نمونه های مورد مطالعه بر روی آن.....	۱۱۶
شكل ۵-۷- موقعیت نمونه های مورد مطالعه بر روی نمودار تمایز تکتونیکی Th-Nb در مقابل Nb (بوزتاگ و همکاران، ۲۰۰۷).....	۱۱۶
شكل ۵-۸- موقعیت نمونه های منطقه مورد مطالعه و سنگهای آتشفسانی منطقه غرب ترکیه در نمودار تمایز تکتونیکی وود (۱۹۸۰) و قرارگیری نمونه ها در کمان آتشفسانی.....	۱۱۷
شكل ۵-۹- مقایسه نمودار عنکبوتی سنگهای آتشفسانی منطقه مورد مطالعه با سنگهای آتشفسانی منطقه غرب ترکیه، الف- نمودار عنکبوتی بهنجار شده به کندرتیت (ناکامورا، ۱۹۷۴)، ب- نمودار عنکبوتی بهنجار شده به گوشته اولیه (سان و مک دونوف، ۱۹۸۹).....	۱۱۷
شكل ۵-۱۰- موقعیت نمونه های مافیک منطقه عباس آباد در نمودار نسبت La/Sm در مقابل La (الف) و نمودار نسبت Sm/Yb در مقابل La/Sm، به منظور تعیین ترکیب و درجه ذوب بخشی محل منشأ.....	۱۲۲
شكل ۵-۱۱- موقعیت نمونه های مافیک منطقه عباس آباد در نمودار نسبت Ce/Sm در مقابل Sm/Yb در مقابل (کوبان، ۲۰۰۷) به منظور تشخیص حضور یا عدم حضور گارنت در محل منشأ.....	۱۲۳
شكل ۵-۱۲- موقعیت نمونه های مافیک منطقه عباس آباد در نمودار Dy/Yb در مقابل La/Yb (تریوال و همکاران، ۱۹۹۴؛ ویلسون و شیمرون، ۲۰۰۰؛ بوگارد و همکاران، ۲۰۰۳)، به منظور تعیین ترکیب و درجی ذوب بخشی محل منشأ.....	۱۲۴
شكل ۵-۱۳- موقعیت نمونه های مافیک منطقه عباس آباد در نمودار تغییرات Y در مقابل Zr به منظور تشخیص غنی شدگی و یا عدم غنی شدگی در محل منشأ.....	۱۲۴
شكل ۵-۱۴- نمودار تغییرات نسبت La/Th در برابر Th/Co (استیونسون و همکاران، ۱۹۹۹)، روند تبلور تفریقی در نمونه های منطقه مورد مطالعه قابل مشاهده است.....	۱۲۶

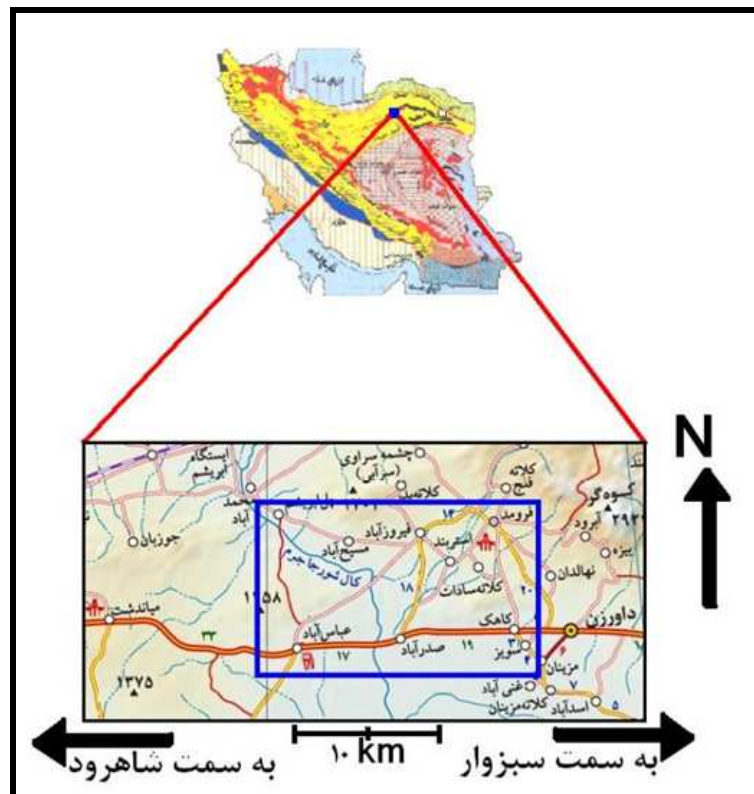
- شکل ۵-۱۴- موقعیت نمونه های مورد مطالعه بر روی نمودار الف- La/Yb در مقابل La و ب- در TiO_2 مقابل Zr (ساندرز و تارنی، ۱۹۷۹) به منظور تعیین روند تبلور تفریقی..... ۱۲۶
- شکل ۵-۱۵- موقعیت نمونه های مورد مطالعه بر روی نمودار تغییرات Rb/Th در مقابل Rb (چامنی و همکاران، ۲۰۰۶) (الف)، نمودار تغییرات $\text{K}_2\text{O}/\text{Na}_2\text{O}$ در مقابل Zr/Rb (اسپرانکا و همکاران، ۱۹۹۲)(ب) و نمودار تغییرات $\text{SiO}_2/\text{Th/Yb}$ در مقابل SiO_2 (خیرخواه و همکاران، ۲۰۰۹)(ج). ۱۲۸
- شکل ۵-۱۶- موقعیت نمونه های مورد مطالعه بر روی نمودار Zr/Sm در مقابل SiO_2 (وانگ و همکاران، ۲۰۰۸)، به منظور تعیین روند تبلور تفریقی..... ۱۲۸
- شکل ۵-۱۷- موقعیت نمونه های مورد مطالعه بر روی نمودارهای Th در مقابل SiO_2 (ویلسون، ۱۹۸۹)، به منظور تعیین روند تبلور تفریقی. ۱۲۹
- شکل ۵-۱۸- موقعیت نمونه های مافیک مورد مطالعه بر روی نمودار نسبت Ce/Pb در مقابل MgO (فارمن، ۲۰۰۷)، به منظور تشخیص آلایش پوسته ای در منشأ آنها. ۱۳۱
- شکل ۵-۱۹- موقعیت نمونه های مافیک مورد مطالعه بر روی نمودارهای La/Nb در مقابل Nb/U و La/Sm در مقابل Nb (یان و ژائو، ۲۰۰۸)، به منظور تشخیص آلایش پوسته ای در منشأ آنها. ۱۳۱
- شکل ۵-۲۰- نقشه زونهای ساختاری ایران ۱۳۳
- شکل ۵-۲۱- تحولات تکتونیکی زون ایران مرکزی (تک حوضه اقیانوسی). ۱۳۳
- شکل ۵-۲۲- تحولات تکتونیکی زون ایران مرکزی (دو حوضه اقیانوسی) و الگوی تکتونوماگمایی منطقه عباس آباد. ۱۳۴
- شکل ۵-۲۳- نقشه وضعیت قرارگیری زون افیولیتی سبزوار و نوار ماگمایی منطقه مورد مطالعه. ۱۳۵

فهرست جداول

جدول ۴-۱- مشخصات نمونه‌های سنگی انتخاب شده به منظور تجزیه شیمیایی.....	۸۲
جدول ۴-۲- نتایج تجزیه‌ی شیمیایی اکسیدهای عناصر اصلی، مقادیر کانی‌های نورماتیو، عناصر کمیاب و نادر خاکی نمونه‌های سنگی منطقه مورد مطالعه پس از حذف مواد فرّار و تصحیح مقادیر نسبت $\text{Fe}_2\text{O}_3 / \text{FeO}$	۸۵
جدول ۴-۳- نتایج تجزیه‌ی شیمیایی اکسیدهای عناصر اصلی و مقادیر کانی‌های نورماتیو منطقه میاندشت (بادامه، چغندرسر (موسوی، ۱۳۸۸) و ۱۳۸۲	۸۹
جدول ۵- نتایج تجزیه‌ی شیمیایی سنگ‌های آتشفشانی غرب ترکیه (آلانماز و همکاران، ۲۰۰۰).....	۱۳۱

۱-۱- مشخصات جغرافیایی منطقه مورد مطالعه

منطقه‌ی مورد مطالعه در حد فاصل کاهک تا غرب عباس‌آباد در استان سمنان بین طول‌های جغرافیایی ۵۶ درجه و ۲۳ دقیقه تا ۵۶ درجه و ۳۰ دقیقه‌ی شرقی و عرض‌های جغرافیایی ۳۶ درجه و ۲۱ دقیقه تا ۳۶ درجه و ۳۰ دقیقه‌ی شمالی در حاشیه شمال غربی دشت کویر در مسیر جاده‌ی شاهرود به سبزوار واقع است. این منطقه از نظر تقسیمات زمین‌شناسی در منتهی‌الیه شمالی زون ایران مرکزی قرار دارد. فاصله عباس‌آباد تا شاهرود حدود ۱۳۰ کیلومتر است. موقعیت جغرافیایی منطقه به همراه راه‌های ارتباطی در شکل ۱-۱ آورده شده است.



شکل ۱-۱- موقعیت جغرافیائی منطقه مورد مطالعه و راه‌های دسترسی به آن، منطقه مورد نظر در کادر نشان داده شده است (اقتباس از سایت اطلس جامع راه‌های ایران).

۱-۱- راه های ارتباطی منطقه

بهترین راه ارتباطی منطقه، بزرگراه شاهروд - مشهد است، که منطقه‌ی مورد مطالعه عموماً در کناره‌ی شمالی این جاده واقع است. جاده‌های خاکی متعددی برای رسیدن به بخش‌های داخلی منطقه از این جاده اصلی منشعب می‌شوند (شکل ۱-۱).

۱-۲- جغرافیای انسانی

فرومد و عباس آباد، مهمترین آبادی‌های موجود در منطقه‌ی مورد مطالعه هستند. شغل اکثر مردم عباس آباد دامداری است. در این روستا به علت نبود آب و زمین مناسب، کشاورزی رواج ندارد. اندک آب مورد نیاز کشاورزی، از قنات‌ها و چاه‌های عمیق به دست می‌آید. به علت خشکسالی چند سال اخیر آب اکثر قنات‌ها کم شده و بعضاً نیز خشک شده‌اند. این عامل باعث مهاجرت بعضی از روستائیان به شهرها و کاسته شدن جمعیت روستا شده است. معدن مس عباس آباد تا اوایل انقلاب فعال بوده و بیشتر معاش مردم از این راه فراهم می‌شده است. اما در حال حاضر این معدن متوقف می‌باشد.

۱-۳- آب و هوا و پوشش گیاهی

این منطقه در حاشیه‌ی کویر قرار گرفته و دارای آب و هوای خشک تا نیمه خشک است. عباس آباد روستایی باد نیز نامیده می‌شود زیرا در بیشتر ایام سال در این منطقه بادهای تندی می‌وزد که می‌توان از انرژی آن بهره برد.

به علت آب و هوای نیمه خشک، بارندگی سالیانه کم است و قسمت اعظم آب قابل شرب و مورد نیاز کشاورزی از قنات‌های کوچک بدست می‌آید. به علت سرپانتینی شدن، قدرت آبدهی سنگ‌های اولترامافیک به مراتب بیشتر از سنگ‌های آذرین و آذراواری ائوسن است؛ به همین دلیل کشاورزی و